



HAL
open science

La nanoplasmonique indirecte pour sonder avec une grande sensibilité l'interaction eau/suie

Benjamin Demirdjian, Frédéric Bedu, Alain Ranguis, Igor Ozerov, Artak Karapetyan, Claude R. Henry

► **To cite this version:**

Benjamin Demirdjian, Frédéric Bedu, Alain Ranguis, Igor Ozerov, Artak Karapetyan, et al. La nanoplasmonique indirecte pour sonder avec une grande sensibilité l'interaction eau/suie. Réunion plénière du GDR Suie, Oct 2015, Saint Etienne du Rouvray, France. hal-03225164

HAL Id: hal-03225164

<https://hal.science/hal-03225164>

Submitted on 12 May 2021

HAL is a multi-disciplinary open access archive for the deposit and dissemination of scientific research documents, whether they are published or not. The documents may come from teaching and research institutions in France or abroad, or from public or private research centers.

L'archive ouverte pluridisciplinaire **HAL**, est destinée au dépôt et à la diffusion de documents scientifiques de niveau recherche, publiés ou non, émanant des établissements d'enseignement et de recherche français ou étrangers, des laboratoires publics ou privés.

La nanoplasmonique indirecte pour sonder avec une grande sensibilité l'interaction eau/suie

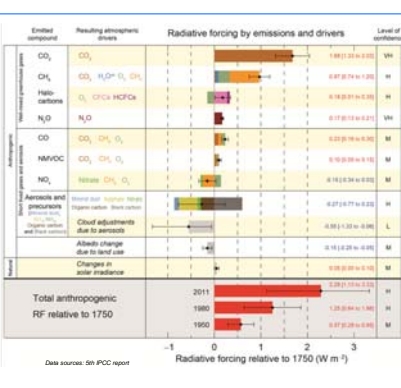
B. Demirdjian, F. Bedu, A. Ranguis, I. Ozerov, A. Karapetyan, C. R. Henry

Aix-Marseille Université, CNRS, CINaM UMR 7325, 13288 Marseille, France



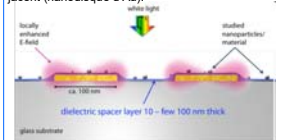
CONTEXTE SCIENTIFIQUE

Les suies affectent le bilan radiatif en absorbant le rayonnement solaire, elles influencent le processus de formation des nuages et modifient la fonte de la couche de neige et de glace [1-3]. Parce que le noir de carbone domine l'absorption du rayonnement solaire visible, les suies sont le deuxième plus gros contributeur au réchauffement de la planète, après le dioxyde de carbone en terme de forçage direct dans l'atmosphère [4]. De plus, la comparaison entre les expériences de terrain et les observations de télédétection avec de nombreux modèles de simulation du climat indique que l'absorption atmosphérique attribuable à la suie est trop faible dans de nombreux modèles; ces différences n'ont pas été étudiées en détails et ne sont pas bien comprises [5]. Cette sous-évaluation importante est liée au manque de connaissances sur les propriétés optiques des suies qui dépendent fortement de leur morphologie [6,7]. L'hygroscopicité des suies influence aussi leurs propriétés optiques [8-10]. Compte tenu de l'absence d'informations fiables sur l'effet de l'eau atmosphérique sur les propriétés optiques des suies et l'importance cruciale des aérosols sur le forçage radiatif, cette étude vise à suivre l'interaction de la vapeur d'eau avec des particules de suie en utilisant la nanoplasmonique indirecte.



LA NANOPLASMONIQUE INDIRECTE

On se propose d'étudier l'adsorption/désorption d'eau sur les suies déposées sur des nanodisques d'or agissant individuellement comme nanodétecteur. Pour cela il est nécessaire de déposer une couche d'isolant (SiO_2) sur les nanostructures d'or. Les travaux de Larsson [11] ont montré que cette couche rend plus stable la nanostructure de détection à haute température et qu'elle élimine toute interaction entre les particules d'or et les nanoparticules réactives (interaction électronique). Les nanoparticules de suie peuvent réagir avec les molécules d'eau qui modifient les propriétés diélectriques à la surface de la suie et engendrent un déplacement de la résonance des plasmons de surface localisés du détecteur sous jacent (nanodisque d'or).



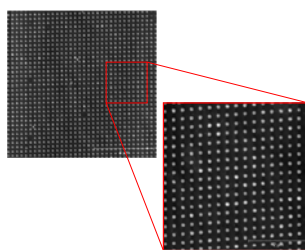
FABRICATION DES NANODISQUES D'OR: LITHOGRAPHIE + LIFT OFF

Support = disque de verre borosilicate, $e = 1 \text{ mm}$, $\varnothing = 25.4 \text{ mm}$
Nettoyage avec acétone sous US, puis isopropanol + US, puis rinçage EDI, enfin four plasma oxygène 150°C (300 W pendant 10 min)
Etalé d'une résine PMMA par « spin-coating » (résine PMMA 950K à 4 %, vitesse de rotation : 4000 rpm, épaisseur = 270 nm, recuit 10 min à 170°C)
Dépôt d'une couche d'or de 5 nm sur pour évacuer les charges Evaporateur Edwards 306, bateau de molybdène.
On insule la couche d'or avec un faisceau d'électrons (PIONEER Raib) Zones de $90 \times 90 \mu\text{m}^2$ répétées 8 fois dans chaque direction (X, Y) soit au total des zones de $720 \times 720 \mu\text{m}^2$ (accord $< 50 \mu\text{m}$)
Révélation sous acétone (on enlève l'or) : Puis on révèle l'échantillon sous MIBK/IPA 1 : 3 pendant 45 s puis sous IPA pendant 45 s (apparition de trous dans la résine)
Evaporation du chrome et de l'or au travers de la résine PMMA Edwards 306 (bateau de Molybdène), $e_{\text{Cr}} = 2 \text{ nm}$, $e_{\text{Au}} = 20 \text{ nm}$
Lift-off (décollement) de la résine par acétone sous US
Dépôt couche 10 nm SiO_2 (RF magnetron sputtering)

CARACTERISATION DES NANODISQUES D'OR ET DEPOT DE LA SUIE

La lithographie électronique permet un contrôle précis de la forme, de la taille et des distances entre les nanodisques d'or

$\langle d_{c-c} \rangle = 300 \text{ nm}$
 $\langle h \rangle = 24 \text{ nm}$
 $\varnothing \sim 100 \text{ nm}$



Images AFM (mode tapping) de nanodisques d'or déposés sur une fenêtre de verre borosilicaté AFM PSIA XE-100

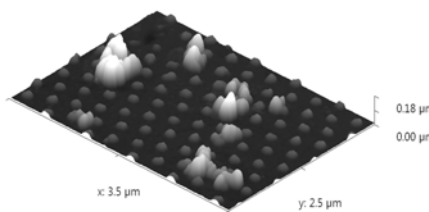
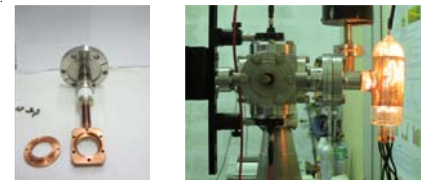


Image AFM (mode tapping) de suies déposées par un dépôt « goutte » sur des nanodisques d'or recouverts d'une couche de SiO_2 . AFM PSIA XE-100

DISPOSITIF EXPERIMENTAL POUR LA MESURE DES RPSL

Le porte échantillon s'insère dans un réacteur UHV : Cube UHV (CF DN 40) + 2 fenêtres en verre.



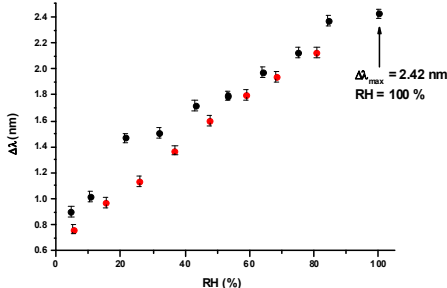
L'échantillon est éclairé par une fibre optique (Avantes, FC-IR200-2) reliée à une source tungstène-halogène (Avantes, AvaLight-HAL-S). La fibre est montée sur une lentille de collimation (Avantes, COL-UV/VIS) ce qui permet d'avoir sur l'échantillon un faisceau cohérent de lumière parallèle.

Le signal transmis par l'échantillon est collecté par une fibre montée sur une autre lentille de collimation identique. Il est collecté et analysé par un spectromètre UV-VIS à capteur CCD (Avantes, AvaSpec-JLS3648-USB2) qui est piloté par le logiciel « AvasoFT-Full » d'Avantes

REFERENCE : ADSORPTION/DESORPTION EAU SUR SiO_2

Ce shift est quasiment linéaire vs RH, à saturation (ie RH = 100%) on mesure un shift $\Delta\lambda_{\text{max}} = 2.42 \text{ nm}$. D'après l'équation (1) ce shift correspond à une épaisseur de la couche d'eau liquide $d = 0.67 \text{ nm}$ (environ 2.2 MC d'eau)

Hypothèses :
 $m = 200 \text{ nm} / \text{RIU}$ et $l_d = 40 \text{ nm}$
 $n_2 - n_1 = n(\text{H}_2\text{O}_{\text{liq}}) - n(\text{vide}) = 1.3330 - 1 = 0.3330$

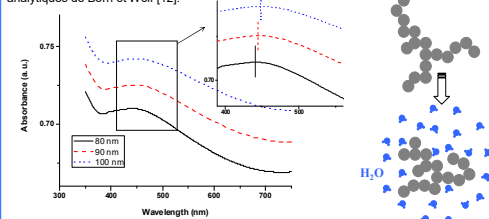


Evolution du shift $\Delta\lambda$ de la réponse RPSL en fonction du taux d'humidité du réacteur à température ambiante durant l'adsorption d'eau sur des particules de suie hydrophobes déposées sur les nanodisques d'or (+ SiO_2). En noir les points obtenus lors de l'adsorption en rouge ceux obtenus lors de la désorption.

Grande sensibilité de détection : on peut mesurer $\Delta\lambda = 0.04 \text{ nm}$ soit 2/100 MC H_2O
Bonne réversibilité de l'adsorption et de la désorption
→ principalement physisorption de H_2O , pas de chimisorption de H_2O sur SiO_2 .

MODELISATION

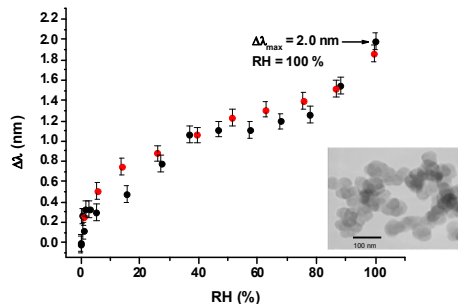
Nous avons brièvement étudié la propagation des ondes électromagnétiques dans un système multicouche qui contient des éléments diélectriques et absorbants. Nous avons développé un modèle numérique général pour le calcul de la réflectance, de la transmittance et de l'absorbance de multicouches minces, sur la base des équations analytiques de Born et Wolf [12].



Absorbance du système multicouche en fonction de la longueur d'onde incidente pour $h_1 = 80 \text{ nm}$, $n_1 = 2$; ligne pleine; $h_1 = 90 \text{ nm}$, $n_1 = 1.9$; ligne en tirets; $h_1 = 100 \text{ nm}$, $n_1 = 1.8$; ligne pointillée et $k_1 = 0.75$ pour les 3 épaisseurs.

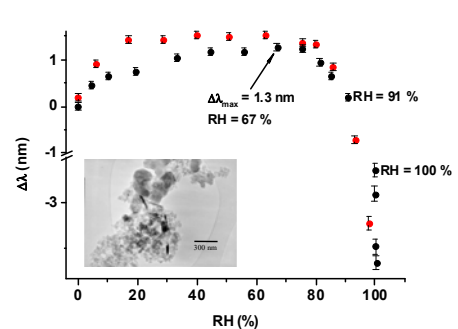
ADSORPTION/DESORPTION EAU SUR LES SUIES

Suies hydrophobes (suies de laboratoire)



Evolution du shift $\Delta\lambda$ de la réponse RPSL vs RH dans le réacteur à température ambiante durant l'adsorption d'eau sur des particules de suie hydrophobes déposées sur les nanodisques d'or (+ SiO_2). En noir les points obtenus lors de l'adsorption en rouge ceux obtenus lors de la désorption.

Suies hydrophiles (suies de chambre de combustion de réacteur d'avion)



Evolution du shift $\Delta\lambda$ de la réponse RPSL vs RH dans le réacteur à température ambiante durant l'adsorption d'eau sur des particules de suie hydrophiles déposées sur les nanodisques d'or (+ SiO_2). En noir les points obtenus lors de l'adsorption en rouge ceux obtenus lors de la désorption.

→ Blue-shift singulier et réversible !

REPONSE DES NANOCAPTEURS RPSL

La réponse des nanocapteurs RPS et RPSL suit un modèle simple décrit par le groupe de Campbell [10]:

$$\Delta\lambda = m (n_2 - n_1) [1 - \exp(-2d/l_e)] \quad (1)$$

$\Delta\lambda$: shift de la réponse RPSL
 m : sensibilité de l'indice de réfraction
 n_2 et n_1 : indices de réfraction du milieu environnant
 d : épaisseur effective de la couche adsorbée
 l_e : longueur caractéristique de la décroissance du champ électrique évanescent

RPSL : $m \sim 200 \text{ nm RIU}$ (10^\times plus petit que pour la RPS → sonde RPSL ne dépend pas de la température ambiante)
 $l_e \sim 4-40 \text{ nm}$ pour RPSL (sonde locale), $l_e \sim 200-300 \text{ nm}$ pour RPS

BIBLIOGRAPHIE

- (1) Kärcher, B.; Yu, F. Role of aircraft soot emissions in contrail formation. *Geophys. Res. Lett.* **2009**, *36*, L01804.
- (2) Ramanathan, V.; Carmichael, G. Global and regional climate changes due to black carbon. *Nature Geoscience* **2008**, *1*, 221-227.
- (3) Alcala-Jornod, C.; Van den Bergh, H.; Rossi, M. J. Can soot particles emitted by airplane exhaust contribute to the formation of aviation contrails and cirrus clouds? *Geophys. Res. Lett.* **2002**, *29*, 1820.
- (4) Jacobson, M. Z. Strong radiative heating due to the mixing state of black carbon in atmospheric aerosols. *Nature* **2001**, *409*, 695-697.
- (5) Bond, T. C.; Doherty, S. J.; Fahey, D. W.; Forster, P. M.; Bernsten, T.; De Angelo, B. J.; Flanner, M. G.; Ghan, S.; Kärcher, B.; Koch, D. Bounding the role of black carbon in the climate system: a scientific assessment. *J. Geophys. Res.* **2013**, *118*, 5380-5552.
- (6) Kahner, M. Modelling the optical and radiative properties of freshly emitted light absorbing carbon within an atmospheric chemical transport model. *Atmos. Chem. Phys.* **2010**, *10*, 1403-1416.
- (7) Liu, L.; Mishchenko, M. I. Effects of aggregation on scattering and radiative properties of soot aerosols. *J. Geophys. Res.* **2005**, *110*, D11211.
- (8) Carrico, C. M.; Petters, M. D.; Kreidenweis, S. M.; Sullivan, A. P.; McMeeking, G. R.; Levin, E. J. T.; Engling, G.; Malm, W. C.; Collett Jr., J. L. Water uptake and chemical composition of fresh aerosols generated in open burning of biomass. *Atmos. Chem. Phys.* **2010**, *10*, 5165-5178.
- (9) Cheng, T.; Gu, X.; Yu, W.; Hao, C. Effects of atmospheric water on the optical properties of soot aerosols with different mixing states. *Journal of Quantitative Spectroscopy and Radiative Transfer* **2014**, *147*, 196-206.
- (10) Mikhailov, E. F.; Vlasenko, S. S.; Podgorny, I. A.; Ramanathan, V.; Corrigan, C. E. Optical properties of soot-water drop agglomerates: an experimental study. *J. Geophys. Res.* **2006**, *111*, D07209.
- (11) Larsson, E. M.; Langhammer, C.; Zoric, I.; Kasemo, B. Nanoplasmonic probes of catalytic reactions. *Science* **2009**, *326*, 1091-1094.
- (12) Born, M.; Wolf, E. *Principles of Optics, 7th Edition*; Cambridge University Press: Cambridge, U.K., 1999.
- (13) B. Demirdjian, F. Bedu, A. Ranguis, I. Ozerov, A. Karapetyan, C.R. Henry. Indirect Nanoplasmonic Sensing to Probe with a High Sensitivity the Interaction of Water Vapor with Soot Aerosols. *The Journal of Physical Chemistry Letters* **2015**, *6*, 4148-4152.

CONCLUSIONS

Nous observons un « blue-shift » singulier et réversible avec des suies hydrophiles, interprété à partir d'un modèle simple, comme un changement morphologique réversible des agrégats de suie. Cette nouvelle méthode est très sensible et intéressante pour suivre le changement des propriétés optiques des aérosols au cours de leur vieillissement dans l'atmosphère où ils peuvent adsorber et réagir avec différentes molécules.

PERSPECTIVES

- ETEM sur suies hydrophiles
- Réactivité de suies avec d'autres gaz d'intérêt environnemental (NO_2 , O_3 , ... + photochimie)
- Quantification des études de réactivité/catalyse → couplage à la spectrométrie de masse
- Développer les méthodes de calcul FDTD (calcul de différences finies dans le domaine temporel, équations de Maxwell).

